

Agrégation séquentielle pour la prévision de la qualité de l'air

Vivien Mallet^{1,2}, Bruno Sportisse^{1,2},
Gilles Stoltz^{3,4}, Boris Mauricette,
Sébastien Gerchinovitz^{3,1}

Journées MAS de la SMAI
29 août 2008

¹ INRIA

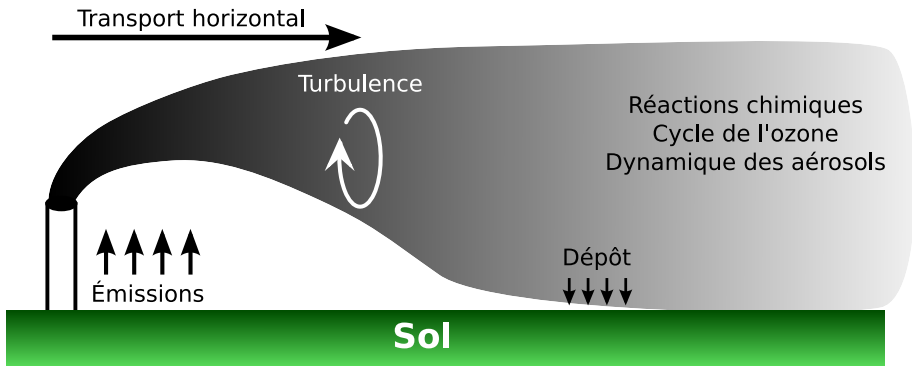
² CERE, laboratoire commun ENPC - EDF R&D, Université Paris-Est

³ CNRS & DMA, École normale supérieure

⁴ HEC Paris

Projet ANR ATLAS, « From Applications to Theory in Learning and Adaptive
Statistics »

Modèles de chimie-transport pour la qualité de l'air

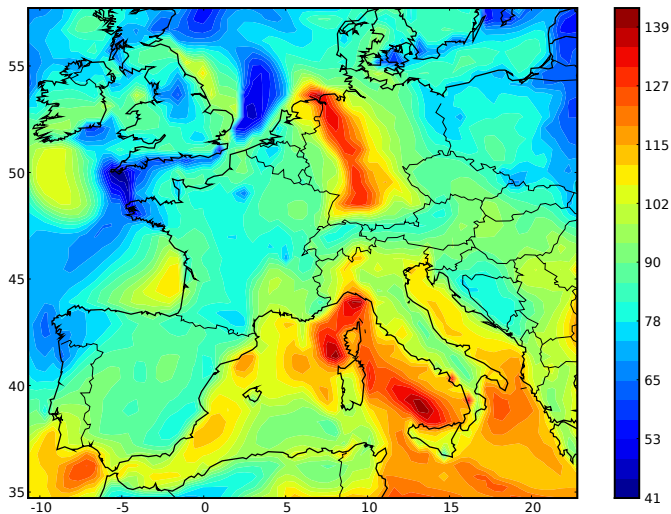


$$\forall i \quad \frac{\partial c_i}{\partial t} = \underbrace{-\operatorname{div}(Vc_i)}_{\text{advection}} + \underbrace{\operatorname{div}\left(\rho K \nabla \frac{c_i}{\rho}\right)}_{\text{diffusion}} + \underbrace{\chi_i(c, t)}_{\text{chimie}} + \underbrace{S_i - P_i}_{\text{sources and pertes}}$$

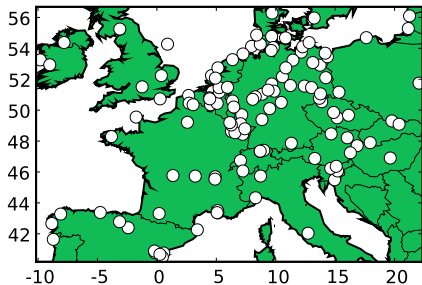
$c_i(t, x, y, z)$: concentration du polluant i

Prévision de l'ozone à l'échelle européenne

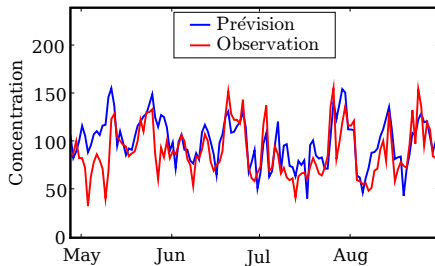
Carte d'ozone ($\mu\text{g m}^{-3}$, 24 septembre 2006, 16h UT)



Performance des modèles pour les pics d'ozone

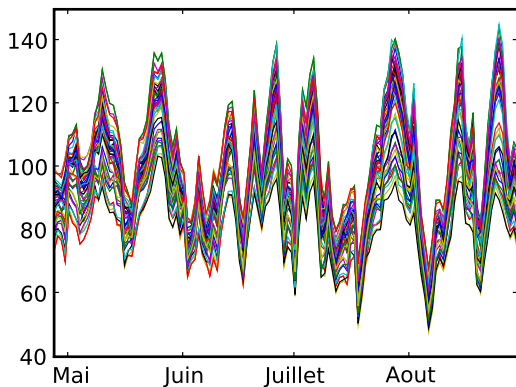


Un réseau d'observation européen



Performance moyenne
(station à Saint Nazaire)

Ensemble de prévisions



Ensemble de prévisions de pics d'ozone (station Saint Nazaire)
48 modèles physiques, soit 48 experts

Agrégation séquentielle

Notations

Prédiction de l'expert m à l'échéance t et à la station s : $x_{m,t}^s$

Observation : y_t^s

Prédiction agrégée : $\hat{y}_t^s = \sum_{m=1}^N \alpha_{m,t} x_{m,t}^s$

Vecteurs \mathbf{y}_t , $\mathbf{x}_{m,t}$ et $\hat{\mathbf{y}}_t$ des valeurs aux S stations

Notes

- 1 Combinaison convexe ou non
- 2 Les poids ne dépendent pas de la station, pour autoriser une agrégation autour des stations d'observation
- 3 Les poids $\alpha_{m,t}$ peuvent dépendre de $\mathbf{y}_1, \dots, \mathbf{y}_{t-2}, \mathbf{y}_{t-1}$ et $\mathbf{x}_{m',1}, \dots, \mathbf{x}_{m',t-1}, \mathbf{x}_{m',t}$ (pour tout m')
- 4 Aucune hypothèse stochastique

Agrégation séquentielle

Notations

- Poids : $\alpha_{m,t} = \mathcal{F}_{m,t}(\mathbf{y}_1, \dots, \mathbf{y}_{t-2}, \mathbf{y}_{t-1}, \mathbf{x}_{m',1}, \dots, \mathbf{x}_{m',t-1}, \mathbf{x}_{m',t})$
- Combinaison : $\hat{\mathbf{y}}_t^s = \sum_m \alpha_{m,t} \mathbf{x}_{m,t}^s$
- Perte instantanée (à t) : $L(\hat{\mathbf{y}}_t, \mathbf{y}_t) = \sum_s (\hat{\mathbf{y}}_t^s - \mathbf{y}_t^s)^2$

Principe de l'agrégation séquentielle

- Borner le regret

$$\sum_{t \leq n} L(\hat{\mathbf{y}}_t, \mathbf{y}_t) - \min_{\beta} \sum_{t \leq n} L\left(\sum_m \beta_m \mathbf{x}_{m,t}, \mathbf{y}_t\right)$$

- Si le regret est en $o(n)$:

$$\frac{1}{Sn} \sum_{t \leq n} L(\hat{\mathbf{y}}_t, \mathbf{y}_t) - \frac{1}{Sn} \min_{\beta} \sum_{t \leq n} L\left(\sum_m \beta_m \mathbf{x}_{m,t}, \mathbf{y}_t\right) \xrightarrow{n \rightarrow \infty} 0$$

Agrégation séquentielle

EG : exponentielle des gradients (Vovk, 1990)

- Combinaison EG : $\hat{\mathbf{y}}_t^s = \sum_m \alpha_{m,t} \mathbf{x}_{m,t}^s$
- Perte instantanée (à t) : $L(\hat{\mathbf{y}}_t, \mathbf{y}_t) = \sum_s (\hat{\mathbf{y}}_t^s - y_t^s)^2$
- Poids initiaux ($t = 1$) : $\forall m \quad \alpha_{m,1} = \frac{1}{N}$
- Poids à $t > 1$:

$$\forall m \quad \alpha_{m,t} = \exp \left(-\eta \sum_{t' < t} \frac{\partial L(\hat{\mathbf{y}}_{t'}, \mathbf{y}_{t'})}{\partial \alpha_{m,t'}} \right) \times \text{normalisation}$$

- Borne sur le regret

$$\sum_{t \leq n} L(\hat{\mathbf{y}}_t, \mathbf{y}_t) - \min_{\beta} \sum_{t \leq n} L\left(\sum_m \beta_m \mathbf{x}_{m,t}, \mathbf{y}_t\right) \leq \gamma S \sqrt{n \ln N}$$

$$\text{où } \forall m, t \quad \gamma \geq \left| \frac{\partial L(\hat{\mathbf{y}}_t, \mathbf{y}_t)}{\partial \alpha_{m,t}} \right|$$

Agrégation séquentielle

Régression ridge (Vovk, 2001, et Azoury et Warmuth, 2001)

- Combinaison RR : $\hat{y}_t^s = \sum_m \alpha_{m,t} \mathbf{x}_{m,t}^s$
- Perte instantanée (à t) : $L(\hat{\mathbf{y}}_t, \mathbf{y}_t) = \sum_s (\hat{y}_t^s - y_t^s)^2$
- Calcul des poids :

$$\alpha_{.,t} = \operatorname{argmin}_{\beta} \left[\sum_{t' < t} \sum_s \left(\sum_m \beta_m \mathbf{x}_{m,t'}^s - y_{t'}^s \right)^2 + \lambda \|\beta\|_2^2 \right]$$

- Borne sur le regret

$$\sum_{t \leq n} L(\hat{\mathbf{y}}_t, \mathbf{y}_t) - \min_{\beta} \sum_{t \leq n} L\left(\sum_m \beta_m \mathbf{x}_{m,t}, \mathbf{y}_t\right) \lesssim O(\ln n)$$

Cesa-Bianchi & Lugosi, *Prediction, Learning, and Games*, 2006

Aggrégation séquentielle : variantes

Exemple de la régression ridge

$$\alpha_{.,t} = \operatorname{argmin}_{\beta} \left[\lambda \|\beta\|_2^2 + \sum_{t' < t} \sum_s \left(\sum_m \beta_m x_{m,t'}^s - y_{t'}^s \right)^2 \right]$$

Escompte

Idée : atténuer l'influence du passé lointain

$$\alpha_{.,t} = \operatorname{argmin}_{\beta} \left[\lambda \|\beta\|_2^2 + \sum_{t' < t} \sum_s (1 + \psi_{t-t'}) \left(\sum_m \beta_m x_{m,t'}^s - y_{t'}^s \right)^2 \right]$$

où ψ_j est une suite décroissante, par exemple $\psi_j = \frac{100}{j^2}$

Méta-apprentissage

Application (score : RMSE, $\mu\text{g m}^{-3}$)

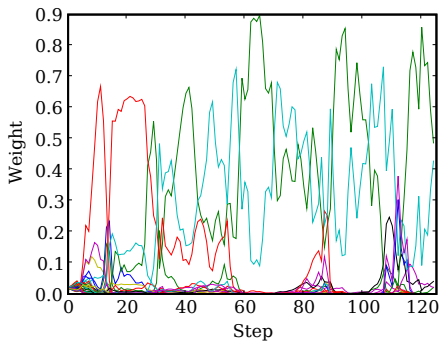
Pics d'ozone

	Réseau 1	Réseau 2	Réseau 3
Meilleur expert	22.43	21.90	23.87
EG	21.47	21.05	24.12
RR escomptée	19.45	18.12	20.88
C_α	19.24	18.16	20.26

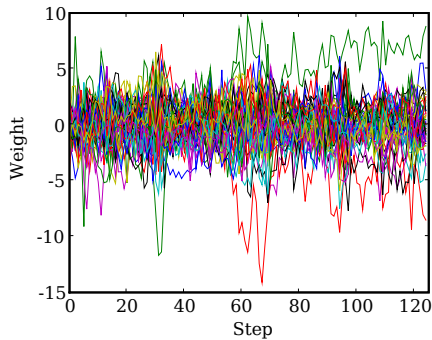
Concentrations horaires d'ozone

	Réseau 1	Réseau 2	Réseau 3
Meilleur expert	26.68	25.98	28.45
EG	24.31	24.67	26.01
RR escomptée	22.02	22.82	22.27
C_α	22.80	23.52	23.19

Évolution temporelle des poids



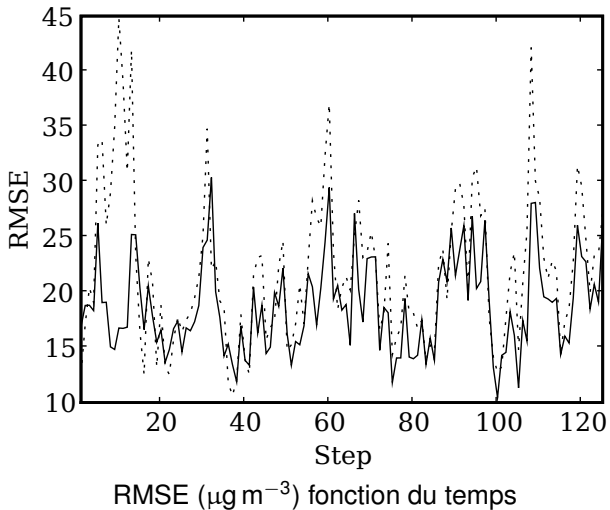
EG



RR escomptée

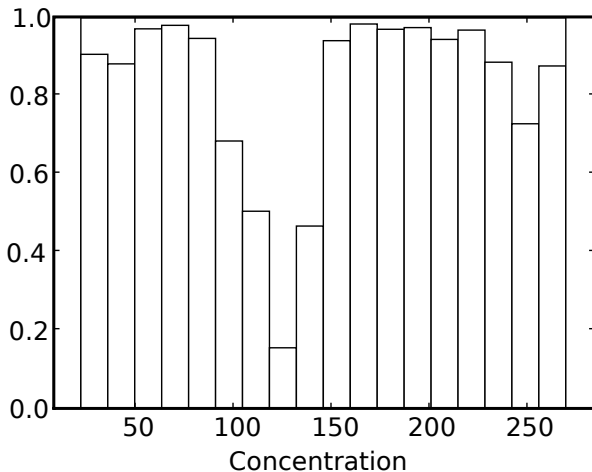
Application

Robustesse



Application

Comportement pour les événements extrêmes



Fréquence avec laquelle RR escomptée prévoit mieux que le meilleur modèle

Un mot sur l'assimilation de données « classique »

Exemple : le filtre de Kalman

- Vecteur d'état à l'échéance t : \mathbf{e}_t^f
- Correction du filtre (analyse) : $\mathbf{e}_t^a = \mathbf{e}_t^f + K_t(\mathbf{o}_t - H_t\mathbf{e}_t^f)$
- Prévision $\mathbf{e}_{t+1}^f = \mathcal{M}_{t \rightarrow t+1}(\mathbf{e}_t^a)$, et propagation *approchée* de la matrice de covariance d'erreur

Différences avec l'agrégation séquentielle

	Assimilation classique	Apprentissage
Paramètres	grand nombre	très peu
Théorie & application	fortes limitations	compatibles
Spatialisation	naturelle	hors cadre

Conclusion

Stratégie

- Ensemble de prédictions de modèles physiques ou experts
- Agrégation séquentielle
- Performances de la meilleure combinaison linéaire d'experts

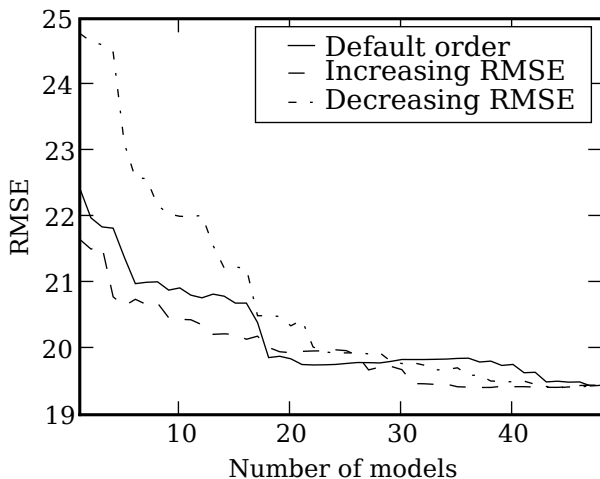
Positionnement en terme de modélisation

- Statistiques pures / agrégation séquentielle / assimilation classique

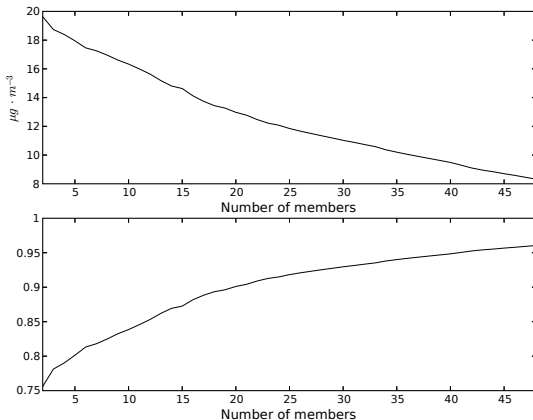
La suite...

- Seuils sur les poids, LASSO
- Sélection des experts (modèles coûteux)
- Spatialisation

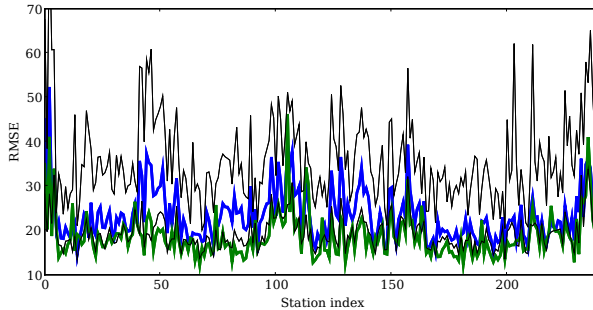
Number of Models (*RR* with Discount)



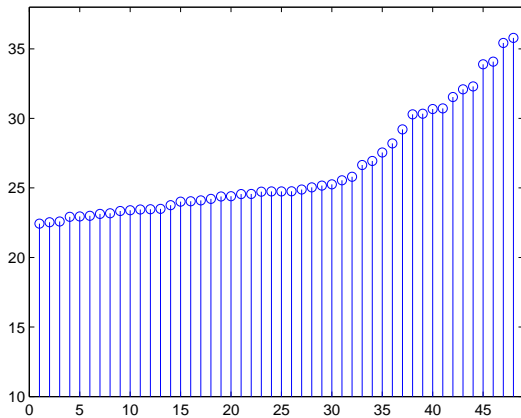
Number of Models (*ELS* a posteriori)



Per Station



Models RMSEs



Ensemble Spread

